

· 药理 ·

# 杞菊地黄汤对视网膜变性大鼠半胱氨酸天冬氨酸蛋白酶-3 表达的影响

陈金卯<sup>1\*</sup>, 杨锦南<sup>2</sup>, 林少春<sup>3</sup>, 吴开力<sup>3</sup>

(1. 广西医科大学第一附属医院, 南宁 530021;

2. 新乡医学院, 河南 新乡 453003; 3. 中山大学中山眼科中心, 广州 510060)

**[摘要]** 目的: 观察杞菊地黄汤对实验性视网膜变性大鼠的治疗机制。方法: 将生后 45 d 的 SD 大鼠分为正常组、模型对照组和杞菊地黄汤组, 正常组不做处理, 生后 47 d 中药组大鼠灌服杞菊地黄汤 8.3 g·kg<sup>-1</sup> (15 mL·kg<sup>-1</sup>), 模型对照组同时灌服等体积生理盐水, 生后 50 d ip N-甲基-N-亚硝脲 (N-methyl-N-nitrosourea, MNU) 40 mg·kg<sup>-1</sup> 造成视网膜变性模型, 正常组第 55 天处死, 后 2 组大鼠分别按造模后 12 h, 1, 2, 3, 5 d 处死, 应用免疫组织化学法检测视网膜中半胱氨酸天冬氨酸蛋白酶-3 (Caspase-3) 的表达, 实时荧光定量 RT-PCR 法检测视网膜中 Caspase-3 的含量。结果: 免疫组织化学和实时荧光定量 RT-PCR 法均显示模型对照组大鼠视网膜 Caspase-3 阳性表达在 MNU 处理后渐升高, 第 2 天达顶峰, 第 5 天有所下降; 杞菊地黄汤组大鼠视网膜 Caspase-3 阳性表达第 3 天才达顶峰, 且高峰值低于模型组。结论: 杞菊地黄汤能延缓 MNU ip 所导致的大鼠视功能损害, 其治疗机制与降低视网膜中 Caspase-3 的表达, 从而抑制光感受器细胞的凋亡有关。

**[关键词]** 杞菊地黄汤; 视网膜变性; 半胱氨酸天冬氨酸蛋白酶-3; 凋亡

**[中图分类号]** R285.5    **[文献标识码]** A    **[文章编号]** 1005-9903(2012)11-0146-05

**[DOI]** CNKI:11-3495/R. 20120327. 2700.005    **[网络出版时间]** 2012-03-27 14:42

**[网络出版地址]** <http://www.cnki.net/kcms/detail/11.3495.R.20120327.1442.005.html>

## Influence of Qiju Dihuang Decoction on Caspase-3 Expression in Retinal Degeneration Rats

CHEN Jin-mao<sup>1\*</sup>, YANG Jin-nan<sup>2</sup>, LIN Shao-chun<sup>3</sup>, WU Kai-li<sup>3</sup>

(1. The First Affiliated Hospital, Guangxi Medical University, Nanning 530021, China;

2. Xinxiang Medical College, Xinxiang 453003, China;

3. Zhongshan Ophthalmic Center, Sun Yat-sen University, Guangzhou 510060, China)

**[Abstract]** **Objective:** To explore the influence of Qiju Dihuang decoction on Caspase-3 expression in *N*-methyl-*N*-nitrosourea (MNU)-induced retinal degeneration rats. **Method:** Sprague Dawley rats were divided into three groups: the control group, the model group and the Qiju Dihuang decoction group. MNU at dose 40 mg·kg<sup>-1</sup> was ip injected at 50 d after birth to induce retinal degeneration model. All rats were sacrificed at scheduled time points. The expression of Caspase-3 on the retina was detected by immunochemistry and Real-Time PCR. **Result:** The results were demonstrated by immunochemistry and Real-Time PCR. Positive Caspase-3 expression in the model group was detected at 12 h after ip MNU, reached to the peak at 2 d and gradually reduced, whereas Caspase-3 expression in the Qiju Dihuang decoction group reached to the peak at 3 d and the peak value was lower than the former. **Conclusion:** The positive expression of Caspase-3 was raised after MNU injection. Qiju Dihuang

[收稿日期] 20111024(017)

[基金项目] 国家自然科学基金(30300467); 广西中医药管理局自筹经费课题(桂卫中 gzzc0963)

[通讯作者] \* 陈金卯, 博士, 副主任医师, 硕士生导师, 主要从事眼科基础和临床研究, Tel: 13978652453, E-mail: sportscjm@163.com

decoction can restrain the apoptosis of photoreceptor cells by decreasing the expression of Caspase-3.

[Key words] Qiju Dihuang decoction; retinal degeneration; Caspase-3; apoptosis

视网膜变性是临床常见的一类眼科疾病,往往严重损伤患者的视功能,光感受器细胞凋亡是其共同的特征。杞菊地黄汤是临床常用的治疗眼科疾病的一个方剂,以往的实验证实杞菊地黄汤对实验性视网膜变性有效<sup>[1]</sup>,本实验拟从分子水平探讨其药理机制。

## 1 材料

**1.1 动物** 生后 45 d 的清洁级雌性 SD 大鼠 66 只,由中山大学北校区实验动物中心提供(动物合格证号 2003A070)。本研究所有方法步骤均严格按照 ARVO 关于实验动物使用的规定进行。

**1.2 药物** 杞菊地黄汤:熟地黄 24 g,枸杞 9 g,菊花 9 g,山茱萸 12 g,山药 12 g,泽泻 9 g,茯苓 9 g,丹皮 9 g。以上药方均利用广东一方制药有限公司生产的中药配方颗粒,按剂量配制组方,并加水煮沸,使之完全溶解,每付药均配制为 168 mL 药液。按人与大鼠体表面积 56:1 计算给药体积,则每 100 g 体重大鼠每天 ig 1.5 mL( $168 \div 56 \div 2$ )药液。各药液置 4 ℃ 冰箱保存备用,实验前用微波炉加热,放置变温后灌胃。

**1.3 试剂** *N*-甲基-*N*-亚硝脲(*N*-methyl-*N*-nitroso-urea, MNU),Sigma 公司产品,闭光保存在 -20 ℃ 冰箱内,临用前用生理盐水稀释至 4 g·L<sup>-1</sup> 质量浓度。大鼠半胱氨酸天冬氨酸蛋白酶-3(Caspase-3)多克隆抗体为 NeoMarkers 公司产品。博士德公司即用型 SABC 试剂盒和二氨基联苯胺(DAB)显色试剂盒。

**1.4 仪器** BX50 生物显微镜美国 Olympus; UV1700 紫外分光光度计(日本 Shimadzu); PE7000 全自动荧光定量 PCR 仪(美国 Pekin Elmer 公司); 德国彩色图像摄录输入仪(Axioplan2 imaging)。

## 2 方法

**2.1 分组与造模<sup>[2]</sup>** 生后 45 d 的 66 只雌性 SD 鼠随机分为以下 3 大组 11 小组:正常组 6 只,模型对照组(MNU 造模后 12 h,1,2,3,5 d 各小组 6 只),杞菊地黄汤组(灌服中药并行 MNU 造模后 12 h,1,2,3,5 d 各小组 6 只)。除正常组外,其他各组均于生后 47 d 开始 ig,中药组大鼠 ig 杞菊地黄汤 8.3 g·kg<sup>-1</sup>(15 mL·kg<sup>-1</sup>),模型对照组 ig 等体积生理盐水,第 50 天行 ip MNU 40 mg·kg<sup>-1</sup> 造成视网膜变性模型,正常组第 55 天处死,后 2 组大鼠分别按造模后 12 h,1,2,3,5 d 处死,摘除双眼球,其中左眼投入

固定液中固定,拟行免疫组织化学法检测视网膜中 Caspase-3 的表达;右眼摘除后,立即分离视网膜,提取总 RNA,用 Real-Time RT-PCR 法检测视网膜中 Caspase-3 的含量。

**2.2 眼球病理切片** 按时处死大鼠,摘出双眼球,注意保留部分视神经作为参照物,立即投入混合固定液中(冰乙酸、甲醛、蒸馏水和 95% 乙醇按 1:2:7:10 配制),3 h 后转移至 10% 中性甲醛溶液中固定过夜,沿纵轴将眼球两边开窗,除去晶状体,组织脱水,然后行石蜡包埋,选取包含视神经的纵切面切片行 HE 染色,切片厚度 4 μm。

**2.3 免疫组织化学分析** 常规切片脱蜡、水化 2 h,微波修复 10 min,冷却后 3% 过氧化氢封闭 15 min,5% BSA 封闭血清 37 ℃ 10 min,加 Caspase-3 羊抗大鼠多克隆抗体(1:100),4 ℃ 过夜,室温解冻 30 min,按博士德公司说明加二抗和 DAB 显色剂。最后苏木素复染、树胶封片。胞浆棕黄色为阳性。

计数方法:参照 Jiangmei<sup>[3]</sup> 的方法并加以改进,400 倍镜下,自视盘旁开始向锯齿缘方向连续取 4 个视野,记录每个视野中免疫组织化学阳性细胞数。取每个样本的平均值进行分析。

**2.4 Real-Time RT-PCR 检测** RNA 的提取:在预定时间分组处死动物,迅速摘取眼球,分离并收集视网膜,11 组共 11 个样本。每个视网膜组织样本中加入 1 mL Trizol 试剂匀浆,室温下放置 5 min 后,加入 0.2 mL 氯仿剧烈振荡 15 s,室温下再放置 3 min,于 4 ℃ 下 12 000 r·min<sup>-1</sup> 离心 15 min,将上部水相转入新的 Eppendorf 管,每个样本加入 0.5 mL 异丙醇沉淀 RNA,摇匀,室温下放置 10 min 后,于 4 ℃ 下 12 000 r·min<sup>-1</sup> 离心 10 min,凝胶样沉淀物为 RNA;吸去上清,并用 1 mL 75% 乙醇在涡旋振荡器上洗 RNA 1 次,随后 4 ℃ 下 7 500 r·min<sup>-1</sup> 离心 5 min;晾干 RNA 沉淀,然后用无 RNA 酶的水溶至 30 μL,-70 ℃ 下保存。

RNA 样品鉴定:每样品取 5 μL RNA 置 1% 的琼脂糖凝胶上电泳,泳毕,溴化乙锭染色观察带型。同时在紫外分光光度计上测定波长为 260 nm 和 280 nm 时的吸光度(*A*),计算样品的浓度和纯度。 $A_{260}/A_{280} \geq 1.8$ ,说明 RNA 纯度好。

$$\text{RNA 浓度} = A_{260} \times \text{稀释倍数} \times 40 / 1000 \quad \text{纯度} = A_{260} / A_{280}$$

引物设计:上游引物 5'-AAT TCA AGG GAC

GGG TCA TG-3'; 下游引物 5'-GCT TGT GCG CGT  
ACA GTT TC-3'; 荧光探针 5'-FAM-CCA GTC ACT  
TTG CGC CAT GC-TAMRA-3'。

反转录反应: 取 5 μL RNA 模板做反转录反应, 仪器为 PE9600 聚合酶链反应仪, 反应体系如下: 5 × 反转录 buffer 4 μL, 上游引物 0.4 μL, 下游引物 0.4 μL, 25 mmol · L<sup>-1</sup> 三磷酸脱氧核糖核酸 0.2 μL (华美), 10 U · μL<sup>-1</sup> 反转录酶 1 μL, 二乙基焦磷酸盐水 9 μL, RNA 模板 5 μL, 总体积 20 μL。反转录 buffer 成分: 50 mmol · L<sup>-1</sup> 三羟甲基氨基甲烷盐酸盐 (pH 8.0), 50 mmol · L<sup>-1</sup> 氯化钾, 4 mmol · L<sup>-1</sup> 氯化镁, 10 mmol · L<sup>-1</sup> 二硫代苏糖醇。反应条件: 37 °C 1 h, 然后 95 °C 3 min。

质量控制: 分别完成 Caspase-3 样品的阳性质控对照品制备, 步骤如下: 样品 cDNA 5 μL, 5 × 聚合酶链反应 buffer (QIAGEN) 10 μL, 上游引物 (25 μmol · L<sup>-1</sup>) 1 μL, 下游引物 (25 μmol · L<sup>-1</sup>) 1 μL, 三磷酸脱氧核糖核酸 (华美公司, 10 mmol · L<sup>-1</sup>) 1 μL, Taq 酶 (达安公司, 2 U · μL<sup>-1</sup>) 2 μL, 去离子水 30 μL。反应条件为 93 °C 2 min, 然后 93 °C 1 min, 55 °C 1 min, 72 °C 1 min, 共 40 个循环, 最后 72 °C 7 min 延伸。仪器为 PE9600 聚合酶链反应仪。扩增产物经电泳, 割下目的条带, 回收纯化。用  $A_{260}$  和扩增片段长度数据换算出浓度 (拷贝数/μL), 再做 10 倍梯度稀释, 制备成阳性定量对照品。阴性质控对照品为灭菌超纯水。

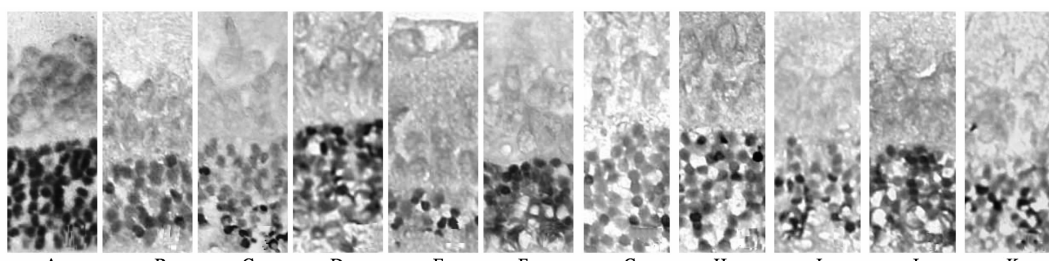
荧光定量 PCR 反应: 阳性质控对照品和样本均

按以下反应体系进行: 5 × 定量 PCR buffer (美国 ABI 公司) 10 μL, 上游引物 F (25 nmol · L<sup>-1</sup>) 1 μL, 下游引物 R (25 nmol · L<sup>-1</sup>) 1 μL, 三磷酸脱氧核糖核酸 (10 mmol · L<sup>-1</sup>) (Sigma 公司) 1 μL, 荧光探针 (20 nmol · L<sup>-1</sup>) (上海生工) 1 μL, Taq 酶 (美国 ABI 公司) 2 μL, cDNA 5 μL, 去离子水 29 μL, 聚合酶链反应 buffer 成分: 10 mmol · L<sup>-1</sup> 三羟甲基氨基甲烷盐酸盐 (pH 8.0), 50 mmol · L<sup>-1</sup> 氯化钾, 2 mmol · L<sup>-1</sup> 氯化镁。反应条件 93 °C 2 min, 然后 93 °C 1 min, 55 °C 1 min, 共 40 个循环。反应结束后, 电脑自动分析荧光信号并将其转换为样品的 Ct 值 (循环阈值) 及 Qty 值 (起始拷贝数/μL cDNA)。考虑到各个样本总 RNA 浓度的差异, 最终计算结果按下列公式换算:  $A$  (拷贝数/μg 总 RNA) = Qty/ $A_{260}$  × 5/6。

**2.5 统计学方法** 所有结果均以  $\bar{x} \pm s$  表示, 采用 SPSS 12 医学统计软件进行处理, 组间比较采用 t 检验,  $P < 0.05$  有统计学意义。

### 3 结果

**3.1 免疫组织化学** 正常组大鼠视网膜各层细胞未见 Caspase-3 的阳性表达。模型对照组 ip MNU 后 12 h, 外核层可见 Caspase-3 阳性表达, 第 2 天达高峰, 高峰后逐渐下降。杞菊地黄汤组 Caspase-3 阳性表达在 MNU 处理后渐升高, 第 3 天达顶峰, 第 5 天有所下降。将模型对照组和杞菊地黄汤组按不同时间点两两对比行 t 检验, 除 3 d 组外, 12 h, 1, 2, 5 d 各组均  $P < 0.05$ 。见图 1, 表 1。



A. 正常组; B ~ F. 模型对照组: 分别为 MNU 处理后 12 h, 1, 2, 3, 5 d;

G ~ K. 杞菊地黄汤组: 分别为灌服杞菊地黄汤并行 MNU 处理后 12 h, 1, 2, 3, 5 d

图 1 MNU 40 mg · kg<sup>-1</sup> ip 后不同时间大鼠视网膜中 Caspase-3 的表达(免疫组织化学, ×400)

表 1 杞菊地黄汤对 MNU 40 mg · kg<sup>-1</sup> ip 后不同时间各组大鼠视网膜外核层 Caspase-3 阳性表达的影响 ( $\bar{x} \pm s, n=6$ ) 个

组别	剂量/g · kg <sup>-1</sup>	12 h	1 d	2 d	3 d	5 d
模型对照	-	125 ± 68	178 ± 83	644 ± 136	432 ± 108	105 ± 58
杞菊地黄汤	8.3	51 ± 21 <sup>1)</sup>	87 ± 36 <sup>1)</sup>	185 ± 73 <sup>3)</sup>	496 ± 114	332 ± 95 <sup>3)</sup>

注: 与模型组比较<sup>1)</sup>  $P < 0.05$ , <sup>2)</sup>  $P < 0.01$ , <sup>3)</sup>  $P < 0.001$  (表 2 同)。

**3.2 Real-time RT-PCR 正常组大鼠视网膜 Caspase-3 mRNA 的表达量为  $1.52 \times 10^5$ ; 模型对照组在 MNU 处理后第 2 天时最高, 达正常组表达量的 19 倍, 此后渐下降, 第 5 天表达量仍为正常组的 8 倍。杞菊地黄汤组在 MNU 处理后早期 Caspase-3 mRNA 的表达量明显低于模型对照组, 其高峰期推迟, 第 3 天时才达到最高, 表达量达正常组的 16 倍, 第 5 天表达量下降为正常组的 13 倍。见图 2, 表 2。**

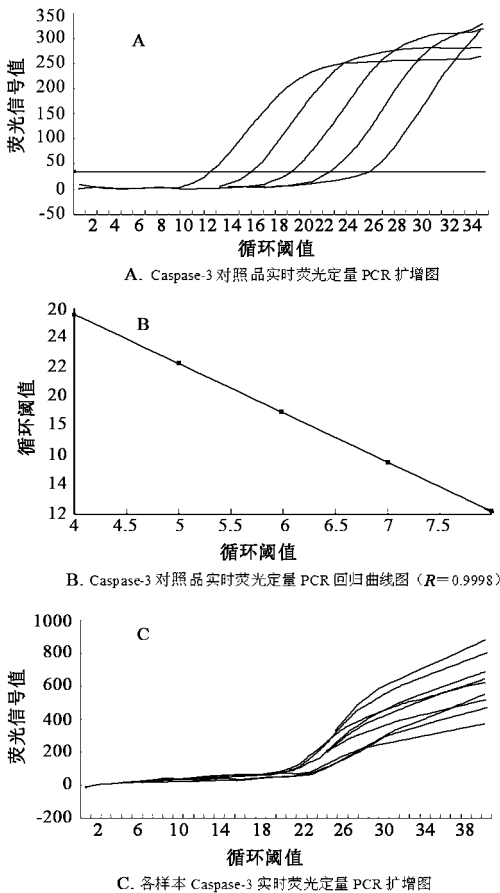


图 2 Real-Time RT-PCR 检测各组大鼠视网膜 Caspase-3 的表达

表 2 杞菊地黄汤对 MNU  $40 \text{ mg} \cdot \text{kg}^{-1}$  ip 后不同时间各组大鼠视网膜 Caspase-3 表达拷贝数的影响 ( $\bar{x} \pm s, n = 26$ )  $\mu\text{g}$  总 RNA

组别	剂量/ $\text{g} \cdot \text{kg}^{-1}$	12 h	1 d	2 d	3 d	5 d
模型对照	-	$18.35 \times 10^5$	$25.14 \times 10^5$	$29.25 \times 10^5$	$13.72 \times 10^5$	$12.24 \times 10^5$
杞菊地黄汤	8.3	$1.79 \times 10^5$	$3.43 \times 10^5$	$13.36 \times 10^5$	$25.25 \times 10^5$	$19.19 \times 10^5$

表明:MNUip 后 12 h, 视网膜 Caspase-3 表达开始上升, 第 2 天达高峰, 其后渐下降; 杞菊地黄汤组大鼠 Capase-3 的表达量在 MNU 处理后 12 h, 1, 2 d 时低于模型组, 表达高峰向后推移, 第 3 天才达高峰, 其变化与杞菊地黄汤治疗组大鼠外核层细胞凋亡程度一致<sup>[1]</sup>, 说明杞菊地黄汤可能通过抑制 Caspase-3 的表达, 从而推迟光感受器细胞凋亡发生的时间, 并减

## 4 讨论

Caspase 在真核细胞凋亡中发挥极为重要的作用<sup>[4]</sup>。迄今为止已鉴定了 18 种此类蛋白酶, 按其被发现的先后顺序分别称为 Caspase1 ~ 18<sup>[5-6]</sup>。Caspase 具有以下特点: ① 它是一种半胱氨酸蛋白酶, 用半胱氨酸作为裂解底物的亲核基团。② 其催化活性对底物的天冬氨酸有特异性要求, 即催化时使底物的天冬氨酸残基羧基端的肽键断裂。③ Caspase 以活性很低的酶原形式合成, 通过蛋白酶水解去除氨基端的一段序列而被激活。④ 活化的 Caspase 能够特异地水解一套底物, 从而导致细胞凋亡, 此过程为不可逆反应。⑤ 正常情况下细胞内总存在有 Caspase 的抑制剂, 以防止 Caspase 酶原偶然被激活而对正常细胞造成损伤。目前根据其结构同源性和功能的不同, Caspase 分为两大类: 凋亡因子和炎症介导因子, 凋亡因子又细分为凋亡启动因子和凋亡执行因子。凋亡启动因子由 Caspase-2, -8, -9, -10 组成, 凋亡执行因子由 Caspase-3, -6, -7 组成, 炎症介导因子包括 Caspase-1, -4, -5, -11, -12, -13, Caspase-14 ~ -18 的功能尚未确定。caspase-3 是 caspases 家族中重要的成员之一, 大多数触发细胞凋亡的因素最终均需通过 Caspase-3 的活化来介导信号途径的传导<sup>[7]</sup>。有证据表明, 细胞凋亡的某些特征性标志, 如染色体凝聚和 DNA 片段化等, 均与 Caspase-3 有着直接的关系<sup>[8-9]</sup>。

我们前期的实验证实 MNU  $40 \text{ mg} \cdot \text{kg}^{-1}$  ip 后, 视网膜光感受器细胞发生凋亡, Caspase-3 表达量与外核层 TUNEL 阳性细胞数变化趋势一致, 说明视网膜光感受器细胞凋亡与 Caspase-3 的表达变化有相关性<sup>[10]</sup>。我们本次免疫组织化学和 Real-Time PCR 实验结果显示, Caspase-3 表达量的升降趋势在 2 种不同的检测方法中具有一致性, 2 种检测结果均

轻光感受器细胞凋亡的程度。

## [参考文献]

- [1] 陈金卯, 杨锦南, 林少春, 等. 杞菊地黄汤改善实验性大鼠视网膜变性的作用观察 [J]. 中国实验方剂学杂志, 2011, 17(23): 94.
- [2] 陈金卯, 杨锦南, 李岱, 等. 腹腔注射 MNU 对大鼠视网膜结构与功能的影响 [J]. 眼科新进展, 2004, 24(5): 349.

# 红景天对自发性高血压大鼠血压的调节及机制

王孝琴<sup>1</sup>, 王保和<sup>2\*</sup>, 李玉红<sup>3</sup>, 赵亚莉<sup>3</sup>, 汪元元<sup>1</sup>, 王怡<sup>3</sup>

(1. 天津中医药大学, 天津 300193; 2. 天津中医药大学第二附属医院, 天津 300193;  
3. 天津中医药大学中医药研究院, 天津 300193)

**[摘要]** 目的: 探讨藏药红景天对自发性高血压大鼠(SHR)血压的调节, 并探讨其作用机制。方法: 将13周龄雄性SHR适应饲养2周后随机分为5组, 空白模型对照组(0.5%CMC), 藏药红景天高、中、低剂量组(生药1.08, 0.27, 0.068 g·kg<sup>-1</sup>·d<sup>-1</sup>), 卡托普利组(0.015 g·kg<sup>-1</sup>·d<sup>-1</sup>), 另设同龄正常血压的Wistar-kyoto(WKY)大鼠12只为WKY对照组(0.5%CMC), 连续ig4周, 采用尾动脉测压法测量ig给药前和单次ig红景天12 h内及连续ig4周大鼠血压, 检测大鼠血脂、血清一氧化氮(NO)含量、超氧化物歧化酶(SOD)活性及计算左心室质量指数(LVWI)。结果: 单次ig12 h和连续ig4周后各给药组收缩压较SHR模型组明显降低( $P < 0.05$ ,  $P < 0.01$ ), 而模型组收缩压明显高于WKY组( $P < 0.01$ ); 与模型组比较, 红景天各给药组能降低SHR血清低密度脂蛋白-胆固醇(LDL-C)水平( $P < 0.05$ ,  $P < 0.01$ ), 升高SHR血清高密度脂蛋白-胆固醇(HDL-C)水平及降低游离脂肪酸(FFA)的趋势, 低剂量组可降低SHR血清总胆固醇(TC)水平( $P < 0.05$ ); 与模型组比较, 红景天高、中剂量组NO含量有不同程度升高, 红景天高、低剂量组SOD明显升高( $P < 0.05$ ,  $P < 0.01$ ), 各给药组均能降低左心室质量指数。结论: 藏药红景天可能通过调节脂代谢、升高NO含量、提高SOD活性及改善左室肥厚发挥对SHR大鼠的降压效应。

**[关键词]** 红景天; 自发性高血压大鼠; 一氧化氮; 超氧化物歧化酶

**[中图分类号]** R285.5    **[文献标识码]** A    **[文章编号]** 1005-9903(2012)11-0150-05

**[DOI]** CNKI:11-3495/R.20120327.2700.011    **[网络出版时间]** 2012-03-27 17:05

**[网络出版地址]** <http://www.cnki.net/kcms/detail/11.3495.R.20120327.1705.011.html>

## Regulating Effect and its Mechanism of Tibet Rhodiola crenulate on Blood Pressure in Spontaneous Hypertension Rat

WANG Xiao-qin<sup>1</sup>, WANG Bao-he<sup>2\*</sup>, LI Yu-hong<sup>3</sup>, ZHAO Ya-li<sup>3</sup>, WANG Yuan-yuan<sup>1</sup>, WANG Yi<sup>3</sup>

**[收稿日期]** 20111011(021)

**[基金项目]** 国家重点基础研究发展计划(973计划)(2011CB505104)

**[第一作者]** 王孝琴, 硕士研究生, E-mail: wxqinxue@126.com

**[通讯作者]** \* 王保和, 教授, 博士生导师, E-mail: wbh3423@sina.com

- [3] Wu Jiangmei, Adrienne Gorman, Zhou Xinghua, et al. Involvement of Caspase-3 in photoreceptor cell apoptosis induced by *in vivo* blue light exposure [J]. Invest Ophthalmol Vis Sci, 2002, 43: 3349.
- [4] Wang J, Lenardo M J. Roles of caspases in apoptosis, development, and cytokine maturation revealed by homozygous gene deficiencies [J]. J cell Sci, 2000, 113 (5): 753.
- [5] Sakamaki K, Satou Y. Caspases: evolutionary aspects of their functions in vertebrates [J]. J Fish Biol, 2009, 74 (4): 727.
- [6] Chowdhury I, Tharakan B, Bhat G K. Caspases—an update [J]. Comp Biochem Physiol B Biochem Mol Biol, 2008, 151(1): 10.
- [7] 陈旭, 王娟, 蒋晓山, 等. 荻类醇对肺癌A549细胞凋亡诱导因子、聚ADP核糖聚合酶及Caspase-3表达的影响 [J]. 中国实验方剂学杂志, 2011, 17 (19): 157.
- [8] Saikumar P, Dong Z, Mikhailov V, et al. Apoptosis: definition, mechanism, and relevance to disease [J]. Am J Med, 1999, 107(5): 489.
- [9] Peter A G, Janicke R U. Emerging roles of Caspase-3 in apoptosis [J]. Cell Death Differ, 1999, 6(2): 99.
- [10] 陈金卯, 胡世兴, 邓新国, 等. Caspase-3在MNU诱导的视网膜变性大鼠中的作用 [J]. 眼科研究, 2005, 23(3): 238.

[责任编辑] 聂淑琴]